

## 1 Метеорологические условия

### 1.1 Синоптический обзор

Кинематическая карта, приведенная на рис. 1-1, отражает траектории циклонов (синий цвет) и антициклонов (красный цвет) в течение месяца. Положение центров приведено за срок 00 ВСВ каждых суток. За барическими объектами закреплен номер, по которому из ниже следующей таблицы можно определить координаты и давление в центре объектов в срок 00 ВСВ каждых суток.

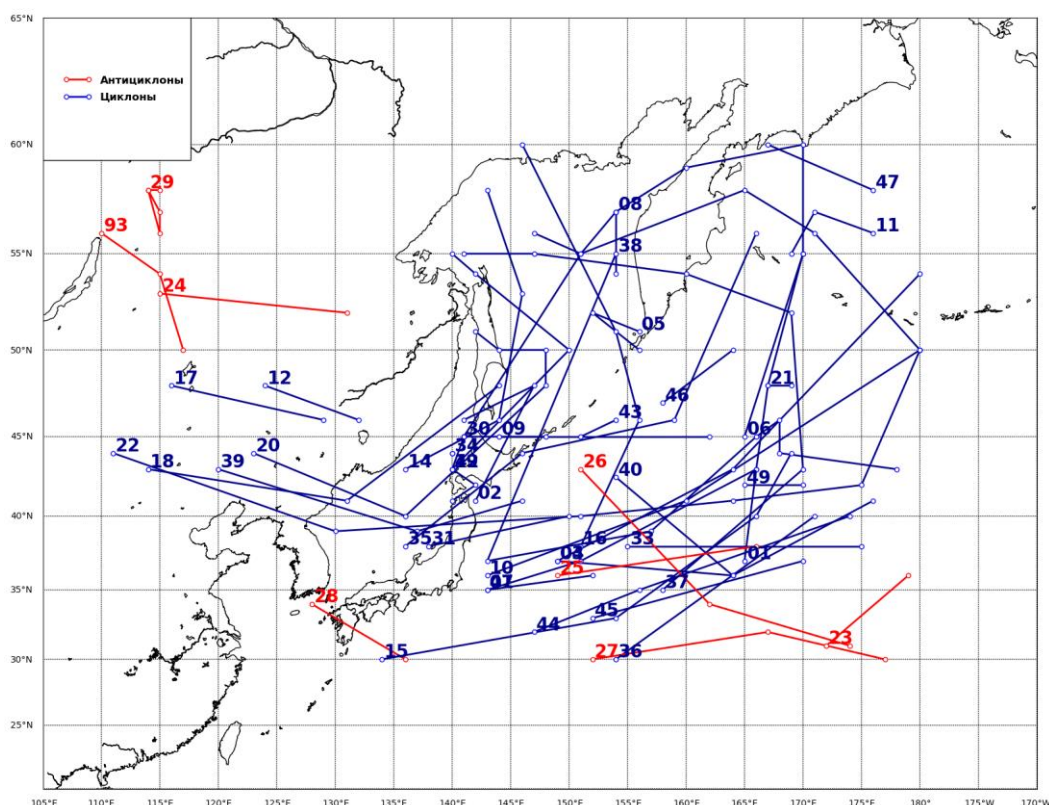


Рис. 1-1 Траектории движения циклонов и антициклонов в январе  
 (траектории циклонов синие, траектории антициклонов красные)

Координаты центров циклонов и антициклонов и давление в их центрах в январе (в срок 00 ВСВ)									
Циклоны					Антициклоны				
Номер	Дата	Широта	Долгота	Давление	Номер	Дата	Широта	Долгота	Давление
1	29.12.2025	37	165	988	93	30.12.2025	56	110	1048
1	30.12.2025	43	166	974	93	31.12.2025	54	115	1048
1	31.12.2025	48	167	976	93	01.01.2026	50	117	1048
1	01.01.2026	55	170	990	23	01.01.2026	31	172	1024
2	30.12.2025	41	142	1008	23	02.01.2026	36	179	1026
2	31.12.2025	48	147	996	24	07.01.2026	53	115	1040
2	01.01.2026	46	141	996	24	08.01.2026	52	131	1024
3	30.12.2025	37	149	1012	25	07.01.2026	36	149	1020
3	31.12.2025	36	164	1008	25	08.01.2026	38	166	1020
3	01.01.2026	41	176	1016	26	10.01.2026	43	151	1024
4	31.12.2025	37	149	1008	26	11.01.2026	34	162	1028

ЕЖЕМЕСЯЧНЫЙ ГИДРОМЕТЕОРОЛОГИЧЕСКИЙ БЮЛЛЕТЕНЬ ДВНИГМИ  
 Авторы: Мезенцева Л. И., Каптюг В. А.

—

Координаты центров циклонов и антициклонов и давление в их центрах в январе (в срок 00 ВСВ)									
Циклоны					Антициклоны				
Номер	Дата	Широта	Долгота	Давление	Номер	Дата	Широта	Долгота	Давление
4	01.01.2026	43	164	992	26	12.01.2026	31	174	1026
4	02.01.2026	54	180	992	27	13.01.2026	30	152	1020
5	01.01.2026	51	156	992	27	14.01.2026	32	167	1022
5	02.01.2026	52	152	986	27	15.01.2026	30	177	1020
5	03.01.2026	50	156	992	28	14.01.2026	34	128	1024
6	02.01.2026	45	165	982	28	15.01.2026	30	136	1022
6	03.01.2026	55	170	968	29	23.01.2026	58	114	1046
6	04.01.2026	60	170	974	29	24.01.2026	57	115	1052
6	05.01.2026	59	160	984	29	25.01.2026	56	115	1052
6	06.01.2026	57	154	992	29	26.01.2026	58	114	1048
6	07.01.2026	55	151	1000	29	27.01.2026	58	115	1052
6	08.01.2026	56	147	1000					
7	02.01.2026	35	143	1008					
7	03.01.2026	37	151	992					
7	04.01.2026	43	166	962					
8	03.01.2026	57	154	990					
8	04.01.2026	54	154	990					
9	04.01.2026	45	144	1002					
9	05.01.2026	45	162	996					
10	05.01.2026	36	143	1008					
10	06.01.2026	41	160	998					
10	07.01.2026	50	180	996					
11	06.01.2026	56	176	984					
11	07.01.2026	57	171	996					
11	08.01.2026	55	169	996					
12	06.01.2026	48	124	1012					
12	07.01.2026	46	132	1010					
14	07.01.2026	43	136	1006					
14	08.01.2026	46	144	992					
14	09.01.2026	53	146	986					
14	10.01.2026	58	143	1000					
15	07.01.2026	30	134	1016					
15	08.01.2026	33	154	1004					
15	09.01.2026	40	166	992					
15	10.01.2026	44	169	980					
16	08.01.2026	38	151	998					
16	09.01.2026	46	156	976					
16	10.01.2026	51	154	992					
16	11.01.2026	60	146	1004					
17	08.01.2026	48	116	1016					
17	09.01.2026	46	129	1014					
18	09.01.2026	43	114	1010					

ЕЖЕМЕСЯЧНЫЙ ГИДРОМЕТЕОРОЛОГИЧЕСКИЙ БЮЛЛЕТЕНЬ ДВНИГМИ  
 Авторы: Мезенцева Л. И., Каптюг В. А.



Координаты центров циклонов и антициклонов и давление в их центрах в январе (в срок 00 ВСВ)									
Циклоны					Антициклоны				
Номер	Дата	Широта	Долгота	Давление	Номер	Дата	Широта	Долгота	Давление
18	10.01.2026	41	131	996					
18	11.01.2026	48	144	984					
19	11.01.2026	43	140	988					
19	12.01.2026	50	150	962					
19	13.01.2026	54	142	964					
19	14.01.2026	55	140	1000					
20	12.01.2026	44	123	1010					
20	13.01.2026	40	136	994					
20	14.01.2026	48	148	970					
20	15.01.2026	50	148	978					
20	16.01.2026	50	144	998					
20	17.01.2026	51	142	1014					
21	13.01.2026	48	167	996					
21	14.01.2026	48	169	1012					
22	14.01.2026	44	111	1010					
22	15.01.2026	39	130	1010					
22	16.01.2026	40	151	1002					
22	17.01.2026	41	164	988					
22	18.01.2026	42	175	974					
22	19.01.2026	50	180	978					
22	20.01.2026	56	171	984					
22	21.01.2026	58	165	990					
22	22.01.2026	55	151	988					
22	23.01.2026	45	141	1006					
22	24.01.2026	45	141	1004					
22	25.01.2026	45	148	1000					
30	17.01.2026	45	141	1012					
30	18.01.2026	43	140	1016					
31	17.01.2026	38	138	1010					
31	18.01.2026	40	150	1004					
33	18.01.2026	38	155	1002					
33	19.01.2026	38	175	980					
34	19.01.2026	44	140	1016					
34	20.01.2026	44	140	994					
35	19.01.2026	38	136	1014					
35	20.01.2026	44	146	988					
35	21.01.2026	46	159	966					
35	22.01.2026	56	166	976					
36	21.01.2026	30	154	1004					
36	22.01.2026	40	171	1000					
37	22.01.2026	35	158	998					
37	23.01.2026	43	170	982					

ЕЖЕМЕСЯЧНЫЙ ГИДРОМЕТЕОРОЛОГИЧЕСКИЙ БЮЛЛЕТЕНЬ ДВНИГМИ  
 Авторы: Мезенцева Л. И., Каптюг В. А.



Координаты центров циклонов и антициклонов и давление в их центрах в январе (в срок 00 ВСВ)									
Циклоны					Антициклоны				
Номер	Дата	Широта	Долгота	Давление	Номер	Дата	Широта	Долгота	Давление
37	24.01.2026	52	169	964					
37	25.01.2026	54	160	980					
37	26.01.2026	55	147	988					
37	27.01.2026	55	141	1010					
38	23.01.2026	55	154	996					
38	24.01.2026	37	143	1012					
38	25.01.2026	39	157	994					
38	26.01.2026	45	166	970					
38	27.01.2026	46	168	966					
38	28.01.2026	44	168	972					
38	29.01.2026	43	178	982					
39	26.01.2026	43	120	1028					
39	27.01.2026	39	137	1010					
39	28.01.2026	41	146	1004					
40	26.01.2026	42	154	992					
40	27.01.2026	36	164	996					
41	27.01.2026	35	143	1012					
41	28.01.2026	36	152	1006					
42	28.01.2026	43	140	1012					
42	29.01.2026	42	142	1012					
42	30.01.2026	41	140	1012					
43	29.01.2026	46	154	1004					
43	30.01.2026	45	151	994					
44	29.01.2026	32	147	1008					
44	30.01.2026	35	156	996					
44	31.01.2026	40	174	980					
45	29.01.2026	33	152	1008					
45	30.01.2026	37	170	996					
46	30.01.2026	47	158	994					
46	31.01.2026	50	164	988					
47	30.01.2026	58	176	984					
47	31.01.2026	60	167	1002					
49	31.01.2026	42	165	988					
49	01.02.2026	42	170	988					



I декада января 2026 г.

### **Японское море**

В первой половине декады погодные условия определялись зимней муссонной циркуляцией. Скорость ветра составляла 10–15 м/с, волнение – до 2–3 м.

7 января над западной частью моря образовался циклон с давлением в центре 1008 гПа. Углубляясь, он двигался на северо-восток со скоростью 30 км/ч, 8 января вышел на пролив Лаперуза с давлением в центре 992 гПа. Циклон вызвал усиление ветра до 15–20 м/с, волнение до 3–4 м.

10 января на западную часть Японского моря с Северной Кореи вышел обширный циклон глубиной 996 гПа. Циклон перемещался на восток, северо-восток со скоростью 50 км/ч, углубляясь, в конце декады находился вблизи о. Хоккайдо с давлением в центре 988 гПа. Ветер на акватории моря усилился до 20–25 м/с, волнение развивалось до 5–6 м.

### **Охотское море**

В самом начале декады на акваторию Охотского моря через северные Курилы вышел тихоокеанский циклон с давлением в центре 992 гПа. Двигался на северо-запад, запад медленно, над центральной частью моря 2 января углубился до 984 гПа. В конце суток 2 января, развернувшись на юго-восток, вернулся на акваторию Тихого океана с давлением в центре 988 гПа. Ветер на большей части Охотского моря усиливался до 15–20 м/с, волнение развивалось до 5–6 м.

3 января вблизи западного побережья Камчатки образовался частный малоподвижный циклон с давлением в центре 990 гПа. В конце суток 4 января, находясь вблизи юго-западного побережья Камчатки, он утратил самостоятельную циркуляцию. Ветры над Охотским морем оставались преимущественно северной четверти до 10–15 м/с, волнение – до 2–3 м.

5 января вблизи северо-западного побережья Камчатки образовался еще один частный неглубокий циклон с давлением в центре 992 гПа. Без развития он медленно двигался на запад. Заполнился лишь 8 числа, находясь над севером акватории, под воздействием циркуляции активного южного циклона. Последний вышел с Японского моря 8 января с давлением в центре 990 гПа. Медленно двигался с юго-запада Охотского моря на север, северо-запад. Максимального развития – глубины 986 гПа – циклон достиг 9 января, располагаясь над северо-западной частью моря. 10 числа он переместился на материк в районе г. Охотска с давлением в центре 1000 гПа. Скорость ветра в зоне действия циклона достигала 15–20 м/с, волнение развивалось до 4–5 м.

9 января через северные Курилы на акваторию Охотского моря вышел тихоокеанский циклон с давлением 976 гПа. Заполняясь, он двигался на северо-запад со скоростью 30 км/ч, в конце декады приблизился к северному побережью моря с давлением в центре 1002 гПа. Ветер в зоне циклона был сильным до 15–20 м/с, волнение – до 4–5 м.

### **Берингово море**

Циклон, который в конце декабря вышел к Командорским островам, 1 января двигался медленно на северо-восток, заполнялся. 2 января он окончательно заполнился вблизи северного побережья моря. Наиболее сильные ветры отмечались на северной периферии циклона 1 января, достигали 20–25 м/с, волнение развивалось до 6–7 м.

2 января через центральные острова Алеутской гряды на акваторию Берингова моря вышел циклон глубиной 992 гПа, обуславливая ветер до 12–17 м/с, волнение до 3–4 м. Циклон двигался на северо-восток, восток со скоростью 50 км/ч, 3 числа заполнился на востоке Берингова моря.

3 января на западную часть акватории вышел южный циклон глубиной 968 гПа. Медленно двигался на север, над центральной частью Берингова моря углубился до 964 гПа, обуславливая

ветер до 18–23 м/с, волнение до 5–6 м. Заполнялся циклон 5 января вблизи северного побережья моря.

Следующий глубокий южный циклон вышел на акваторию моря 5 января с давлением в центре 944 гПа. Над Беринговым морем он перемещался на восток со скоростью 40 км/ч, начал заполняться, 6 января находился над Бристольским заливом с давлением в центре 964 гПа. Скорость ветра с этим процессом достигала 25–30 м/с, волнение развивалось до 7–9 м.

5 января на западе Берингова моря образовался малоподвижный частный циклон глубиной 984 гПа. В конце суток 6 января он заполнился до 996 гПа, но сохранял самостоятельную циркуляцию до 8 января, оставаясь над западной частью акватории.

8–9 января вдоль Алеутской гряды с тихоокеанской стороны проследовал циклон с давлением в центре 970 гПа. Над Чукоткой в этот период установился малоподвижный антициклон. Берингово море находилось между этими барическими объектами в зоне напряженных барических градиентов, что обусловило усиление северо-восточных ветров до 20–25 м/с, волнение развивалось до 7–8 м. 10 января над морем ещё сохранялся сильный ветер до 15–20 м/с, волнение – до 5–6 м.

### Северо-западная часть Тихого океана

В начале первой декады над центральной частью района располагалась меридионально расположенная фронтальная система, на которой развивались циклоны. Один из циклонов, в конце декабря он находился в районе с координатами 43° с. ш., 162° в. д., 1 января углубился до 986 гПа, перемещался над акваторией района на северо-восток со скоростью 60–70 км/ч, 2 числа был над Беринговым морем с давлением в центре 992 гПа. В зоне действия циклона наблюдались усиление ветра до 18–23 м/с, волнение до 5–6 м.

Второй циклон образовался 1 января в районе с координатами 36° с. ш., 148° в. д. с давлением в центре 1006 гПа. Двигался на северо-восток со скоростью 40–50 км/ч, замедляя движение. 3 числа вышел к Командорским островам с давлением в центре 968 гПа. В северо-западной части Тихого океана циклон вызвал усиление ветра до 20–25 м/с, волнение до 5–6 м.

Следующий циклон образовался 2 января в районе с координатами 35° с. ш., 143° в. д. с давлением в центре 1008 гПа. Он двигался на северо-восток со скоростью 40–50 км/ч, углублялся, 5 числа вышел в Берингово море с давлением в центре 944 гПа. Скорость ветра в зоне циклона достигала 25–30 м/с, волнение развивалось до 8–10 м.

Циклон с давлением в центре 1008 гПа, образовавшийся вблизи юго-восточного побережья о. Хонсю 5 января, двигался на восток, северо-восток со скоростью 50–60 км/ч; в конце суток 7 января находился в районе с координатами 49° с. ш., 180° д. с давлением в центре 984 гПа. 7 января ветер в зоне действия циклона усилился до 20–25 м/с, волнение – до 5–6 м.

Циклон глубиной 998 гПа, он образовался 6 января в районе с координатами 40° с. ш., 160° в. д., двигался на северо-восток со скоростью 50 км/ч, 8 января находился в районе с координатами 50 с. ш., 180° д. с давлением в центре 976 гПа. Скорость ветра в зоне циклона на границе восточного полушария достигала 25–30 м/с, волнение развивалось до 7–8 м.

7 января вблизи юго-восточного побережья о. Хонсю наблюдалось образование двух циклонов. Давление в их центрах на этапе образования составляло 1010–1012 гПа. Циклоны перемещались на северо-восток со скоростью 50–60 км/ч, углублялись. Циклон, который перемещался по более северной траектории, достиг максимального развития 9 января вблизи северных островов Курильской гряды, углубился до 972 гПа. В дальнейшем он вышел в Охотское море. Ветер в зоне циклона достигал 20–25 м/с, волнение – до 6–7 м. Более южный циклон максимального развития – глубины 980 гПа – достиг 10 января в районе с координатами 44° с. ш., 169° в. д. Многократно окклюдируясь, в конце суток 10 числа по 40-й параллели он покинул



восточное полушарие с давлением в центре 986 гПа. Ветер в зоне циклона достигал 20–25 м/с, волнение – до 7–8 м.

7 января с Японского моря в северо-западную часть Тихого океана вышло ядро с давлением в центре 1020 гПа. Без изменения интенсивности оно двигалось на восток со скоростью 50–60 км/ч, 9 числа по 32-й параллели переместилось в западное полушарие.

9 числа южнее Японии образовалось ядро мощностью 1022 гПа. Двигалось на восток со скоростью 50 км/ч, в конце декады находилось в районе с координатами 32° с., ш., 160° в. д. с давлением в центре 1024 гПа.

II декада января 2026 г.

### **Японское море**

11–12 января погодные условия в Японском море формировались под влиянием тыловой части развивающегося глубокого циклона, 10 января он проследовал над акваторией моря. Северо-западные ветры усиливались до 18–23 м/с, волнение развивалось до 5–6 м.

13 января с полуострова Корея вышел развивающийся циклон с давлением в центре 1004 гПа. Он двигался на северо-восток со скоростью 60 км/ч, углублялся, в конце суток переместился на о. Хоккайдо с давлением в центре 980 гПа. Циклон обусловил усиление ветра до 15–20 м/с, волнение до 4–5 м.

15 числа на западную часть акватории вышел циклон глубиной 1010 гПа. Проследовал над акваторией моря на восток со скоростью 60 км/ч, 16 числа переместился в северо-западную часть Тихого океана с давлением 1004 гПа. Значительного усиления ветра и волн не наблюдалось.

В период 16–17 января по югу моря проследовал неглубокий циклон, давление в его центре понижалось от 1016 до 1010 гПа. 18 числа на юго-западе акватории образовался волновой циклон с давлением в центре 1016 гПа. Он двигался на восток со скоростью 30 км/ч, 19 января перевалил через Японию, углубившись до 1004 гПа.

19 числа над северной частью моря образовался циклон с давлением в центре 1016 гПа. Медленно двигался на восток, углублялся, 20 января вблизи западного побережья Хоккайдо достиг глубины 994 гПа. Вскоре втянулся в систему тихоокеанского развивающегося циклона. 19–20 января в тылу циклонов ветер усиливался до 15–20 м/с, волнение развивалось до 4–5 м.

### **Охотское море**

Циклон, который в конце первой декады вышел к северному побережью моря, 11 января переместился на континент с давлением в центре 1004 гПа.

11 января на юго-запад акватории с Японского моря вышел циклон с давлением в центре 984 гПа. Он медленно двигался на север, 12 числа потерял самостоятельную циркуляцию, попав под воздействие более активного южного циклона. Последний вышел на акваторию Охотского моря через Курильскую гряду 12 января с давлением в центре 962 гПа. Двигаясь на северо-запад со скоростью 50 км/ч, циклон продолжал развиваться. К сроку 06 ВСВ 12 января углубился до 956 гПа. 13 числа над северо-западной частью моря он замедлил движение, начал заполняться. Окончательно заполнился 14 января. Наиболее жесткие штормовые условия отмечались 12 января. Зафиксированы ветры до 28–32 м/с, волнение до 8–10 м.

Следующий штормовой циклон вышел с Японского моря 13 января с давлением в центре 972 гПа. Медленно двигаясь на север, северо-запад, 14 января он углубился до 966 гПа. Ветер над акваторией моря усилился до 20–25 м/с, волнение развивалось до 6–7 м. В период 15–16 января циклон заполнялся, медленно перемещался с центральной части моря на запад, 17 числа заполнился над севером Сахалина.

19 января через северные Курилы на акваторию Охотского моря вышел тихоокеанский циклон с давлением в центре 996 гПа. Медленно двигаясь на запад, циклон незначительно углублялся, в конце суток 20 января утратил самостоятельную циркуляцию, попав в тыл тихоокеанского развивающегося циклона. Ветер на севере, северо-западе моря оставался сильным до 15–20 м/с, волнение – до 4–5 м. Напряженные барические градиенты определялись наличием мощного ядра над бассейном Колымы с давлением в центре 1044–1048 гПа.

### **Берингово море**

В начале второй декады над западной частью Берингова моря установился гребень от чукотского антициклона; над восточной частью акватории на восточной периферии гребня сформировались напряженные барические градиенты, обуславливающие сильные ветры северной четверти до 15–20 м/с. Волнение развивалось до 4–5 м.

17 января на восточную часть Берингова моря вышел тихоокеанский циклон с давлением в центре 978 гПа. Двигаясь на север, северо-запад со скоростью 30 км/ч, 18 числа циклон приблизился к побережью Чукотки, давление в его центре составляло 980 гПа. В дальнейшем он быстро заполнялся, оставаясь вблизи северного побережья. Скорость ветра в зоне циклона достигала 17–22 м/с, волнение – до 5–6 м.

Следующий циклон с давлением в центре 978 гПа вышел на юг Берингова моря 19 января. Двигался в северо-западном направлении, в конце декады подошел к Камчатке с давлением в центре 990 гПа. Ветер с этим процессом усиливался до 15–20 м/с, волнение развивалось до 4–5 м.

### **Северо-западная часть Тихого океана**

Антициклон, который образовался южнее о. Хонсю 9 января, продолжал двигаться на восток со скоростью 50 км/ч. Давление в его центре составляло 1028 гПа. 12 января по 30-й параллели он переместился в западное полушарие, разрушившись до 1022 гПа.

11 января в районе с координатами 40° с. ш., 148° в. д. образовался циклон с давлением в центре 992 гПа. Углубляясь, он двигался на север со скоростью 50 км/ч; 12 числа через центральные Курилы вышел в Охотское море с давлением в центре 962 гПа. Скорость ветра в зоне циклона достигала 20–25 м/с, волнение – до 7–8 м.

В ложбине вышеуказанного циклона, которая перемещалась на восток, северо-восток, располагался активный фронтальный раздел, что способствовало развитию фронтальных циклонов. Один из циклонов образовался в 12 ВСВ 12 января в районе с координатами 43° с. ш., 168° в. д. с давлением в центре 992 гПа. Через 6 часов углубился до 986 гПа. 13 числа, претерпев быстрое многократное окклюдирование, покинул восточное полушарие с давлением в центре 988 гПа. К северу, северо-западу от этого циклона в ложбине, тянущейся к юго-восточному побережью Камчатки, наблюдалось образование ещё трёх циклонических вихрей с давлением в центре 992–996 гПа. Ветер на северо-востоке района достигал 17–22 м/с, волнение развивалось до 6–8 м.

В период 13–15 января вдоль 30-й параллели со скоростью 50 км/ч перемещалось ядро с давлением в центре 1020 гПа.

14 января в районе с координатами 43° с. ш., 163° в. д. образовался циклон с давлением в центре 1000 гПа. Двигаясь на восток со скоростью 20–30 км/ч, циклон углублялся, 16 числа по 46-й параллели переместился в западное полушарие с давлением в центре 964 гПа. Скорость ветра в зоне циклона возрастала до 20–25 м/с, волнение развивалось до 7–8 м.

16 числа в районе с координатами 40° с. ш., 150° в. д. образовался молодой циклон глубиной 1002 гПа. Углубляясь, он начал двигаться на восток со скоростью 50 км/ч. 18 января находился в районе с координатами 45° с. ш., 180° в. д. с давлением в центре 974–976 гПа, затем повернул на север. 19 числа циклон переместился в Берингово море с давлением в центре 978 гПа.

Скорость ветра в зоне циклона достигала штормовой силы – 18–23 м/с, волнение развивалось до 6–7 м.

Следующий циклон образовался 17 января вблизи юго-восточного побережья Японии с давлением в центре 1008 гПа. Двигаясь на восток со скоростью 60 км/ч, он углублялся, 19 числа по 40-й параллели покинул восточное полушарие с давлением в центре 976 гПа. Скорость ветра в зоне циклона возрастала до 20–25 м/с, волнение развивалось до 6–7 м

19 января с Японского моря на акваторию северо-западной части Тихого океана переместилось ядро с давлением в центре 1020 гПа. Незначительно меняя интенсивность, двигалось на восток, юго-восток со скоростью 40 км/ч. В конце суток 20 января находилось вблизи 180-го меридиана с давлением в центре 1020 гПа.

19 января с Японского моря на акваторию района вышел циклон с давлением в центре 1004 гПа. Он двигался на северо-восток со скоростью 40–50 км/ч, углублялся, в конце декады находился южнее Камчатки, в районе с координатами 46° с. ш., 157° в. д., с давлением в центре 968 гПа. Скорость ветра в зоне циклона достигала 20–25 м/с, волнение – до 6–7 м.

III декада января 2026 г.

### **Японское море**

В течение третьей декады над Японским морем преобладала зимняя муссонная циркуляция. Наблюдались ветры северо-западной четверти до 12–17 м/с, волнение – до 3–4 м.

Зимний муссон кратковременно перебивался неглубокими циклонами. 26 января над южной частью моря образовался циклон с давлением в центре 1020 гПа. Он проследовал на восток со скоростью 30 км/ч, 27 числа покинул акваторию моря с давлением в центре 1010 гПа. 27 января на севере моря вблизи о. Хоккайдо образовался частный циклон глубиной 1008 гПа; он заполнился 30 числа в районе Сангарского пролива.

### **Охотское море**

В первой половине декады над морем преобладала муссонная циркуляция. 21 января с Берингова моря, перевалив через Камчатку, вышел циклон с давлением в центре 988 гПа. Заполняясь, он оставался вблизи западного побережья Камчатки, окончательно заполнился 24 января. Над северной, северо-западной частью Охотского моря муссонные ветры оставались сильными до 15–18 м/с, волнение – до 3 м.

25 января с Берингова моря, перевалив через Камчатку, вышел циклон с давлением в центре 984 гПа. Заполняясь, он медленно двигался на запад, 27 числа вышел на север Сахалина с давлением в центре 1004 гПа, где и заполнился. Ветер с этим процессом усиливался до 15–20 м/с, волнение – до 3–4 м.

31 января на акваторию Охотского моря через южную часть Камчатки вышел тихоокеанский циклон с давлением в центре 984 гПа. Он медленно перемещался в западном направлении, обуславливая усиление ветра до 15–20 м/с, волнение – до 6 м.

### **Берингово море**

Циклон, который в конце суток 20 января вышел на юг Берингова моря с давлением в центре 980 гПа, 21 января продолжал перемещаться на север, северо-запад со скоростью 40 км/ч. В его северном и восточном секторах ветер был сильным до 17–22 м/с, волнение развивалось до 5–6 м. 22 января циклон заполнился на севере моря, в районе Олюторского залива.

22 января на западную часть акватории вышел южный циклон глубиной 976 гПа. Двигался на север, северо-запад со скоростью 30 км/ч, 23 числа вышел на север Камчатки с давлением в

центре 996 гПа. Скорость ветра в зоне циклона 22 января возрастала до 17–22 м/с, волнение развивалось до 5–6 м.

24 января с юга к Командорским островам вышел циклон с давлением в центре 964 гПа. 25 числа он через Камчатку переместился в Охотское море. На западе Берингова моря ветер усиливался до 20–25 м/с, волнение развивалось до 6–7 м.

Во второй половине декады над акваторией моря сформировались напряженные барические градиенты – за счет циклогенеза над северо-западной частью Тихого океана и высокого давления над Чукоткой. Преобладали сильные северо-восточные ветры, достигавшие 15–20 м/с, высота волн доходила до 7–8 м.

29 января над восточной половиной Берингова моря наблюдалось образование циклонов, их глубина составляла 990–992 гПа. Углубляясь, они вращались друг относительно друга. Минимальное давление в центре основного циклона наблюдалось 30 января, составляло 988 гПа. В это время циклон находился над севером акватории, в районе с координатами  $58^\circ$  с. ш.,  $178^\circ$  в. д. Ветер над большей частью моря усиливался до 18–23 м/с, волнение – до 4–5 м. В дальнейшем циклон медленно двигался на северо-запад, запад, заполнялся; 31 числа прекратил свое существование вблизи северного побережья моря.

### **Северо-западная часть Тихого океана**

В течение третьей декады в северо-западной части Тихого океана наблюдалась активная циклоническая деятельность.

Циклон, который 19 января переместился на акваторию северо-западной части Тихого океана с Японского моря, 21 января с давлением в центре 966 гПа располагался над севером района, перемещался на северо-восток со скоростью 50 км/ч. 22 числа находился вблизи Командорских островов с давлением в центре 976 гПа. Скорость ветра в зоне циклона достигала 18–23 м/с, волнение – 6–7 м.

21–22 января южнее указанного циклона наблюдалось образование нескольких фронтальных и частных циклонов глубиной около 1000 гПа. Развитие получил циклон, который образовался 22 числа в районе с координатами  $35^\circ$  с. ш.,  $159^\circ$  в. д. Он углублялся, двигался на северо-восток, север со скоростью 40–50 км/ч, 24 числа развернулся на северо-запад, углубился до 964 гПа. 25 января он вышел на Камчатку с давлением в центре 980 гПа. Скорость ветра в зоне циклона достигала 20–25 м/с, волнение – 6–7 м.

24 января вблизи восточного побережья о. Хонсю образовался молодой циклон. Развиваясь, он двигался на северо-восток, север со скоростью 50–60 км/ч. 27 числа в районе с координатами  $46^\circ$  с. ш.,  $168^\circ$  в. д. циклон достиг максимального развития, глубины 966 гПа (рис. 1-2). 28 января, перейдя в стадию высокого барического образования, начал двигаться медленнее, преимущественно на восток, заполнялся; 29 числа по 42-й параллели переместился в западное полушарие с давлением в центре 982 гПа. В период максимального развития циклона скорость ветра возрастала до 20–25 м/с, волнение – до 7–8 м.

27 января с Японского моря в северо-западную часть Тихого океана вышла двухцентровая депрессия с глубиной в центрах 1006 гПа. Депрессия двигалась на восток со скоростью 40–50 км/ч без развития, в неблагоприятных для развития условиях – в тылу впереди идущего активного циклона.

Циклон с давлением в центре 1014 гПа, который образовался на полярном фронте южнее о. Хонсю 28 января, двигался на восток, северо-восток со скоростью 50–70 км/ч, незначительно углублялся. Минимальное давление в его центре – 994 гПа – отмечалось 30 января в районе с координатами на  $38^\circ$  с. ш.,  $178^\circ$  в. д. Сильный ветер отмечался только в южном секторе циклона, не превышал 15–17 м/с, волнение развивалось до 4–5 м. Вскоре циклон заполнился.

Ещё один молодой циклон образовался тоже южнее о. Хонсю 29 января. Углубляясь, двигался на восток, северо-восток со скоростью 50–70 км/ч, 31 числа по 42-й параллели переместился в западное полушарие с давлением в центре 974 гПа. Этот циклон вызвал ветер на востоке района до 20–25 м/с, волнение развивалось до 7–8 м.

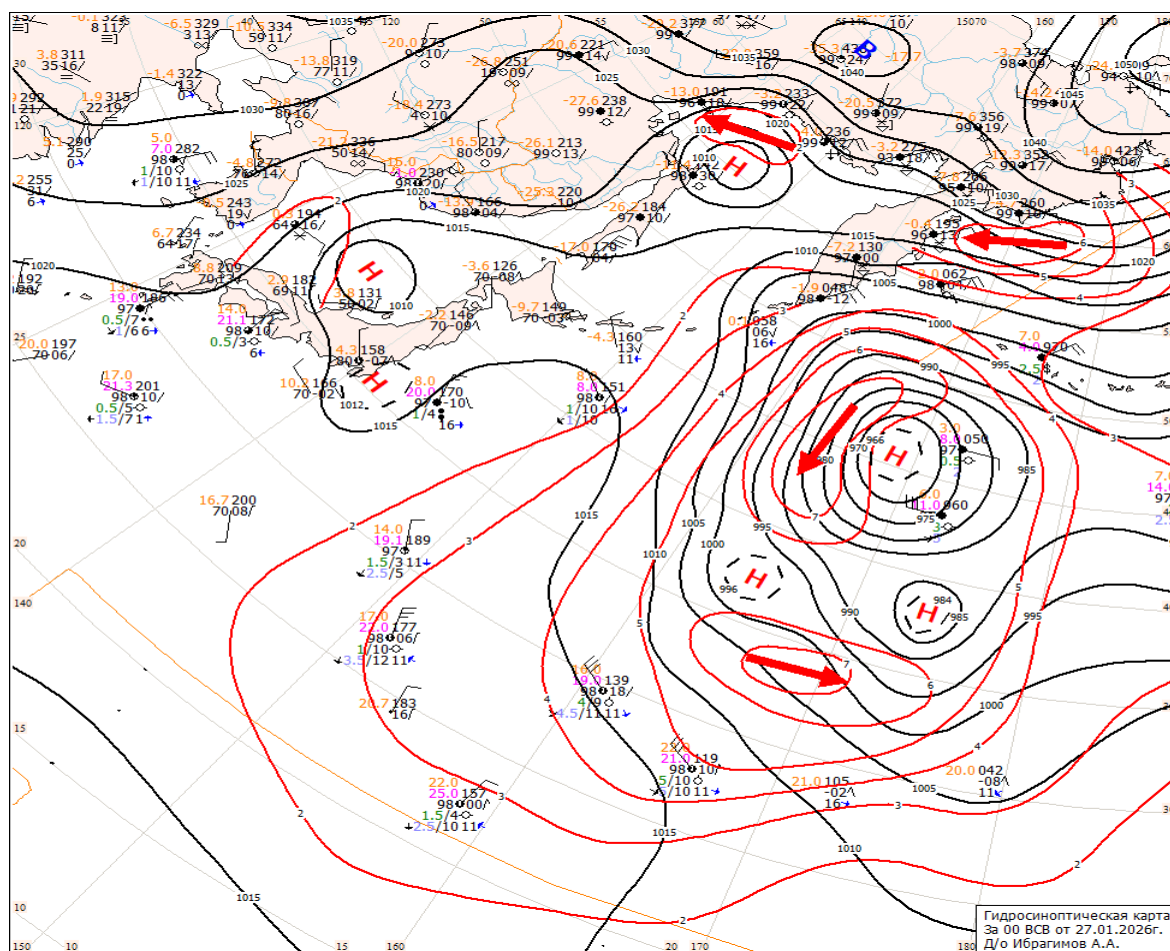


Рис. 1-2 Приземная карта за 00 ВСВ 27 января 2026 г.

## 1.2 Анализ термобарических полей

Карты термобарических полей месячного разрешения над районом обзора построены на основе данных реанализа NCEP/NCAR, приведены ниже на рис. 1-3–1-5. Анализ термобарических полей выполнен на базе средних за месяц карт барической топографии для стандартного изобарического уровня 500 гПа, давления на уровне моря и температуры воздуха на стандартном изобарическом уровне 850 гПа. Аномалии рассчитаны относительно средних многолетних значений за период 1981–2010 гг.

### Региональный обзор

В январе в высоких и умеренных широтах региона термобарическое поле средней тропосферы сохраняло крайне аномальный характер. Мощный термобарический гребень, который в декабре установился над северной частью Тихого океана, в январе распространился дальше на север, северо-запад. Потеряв связь с высотной фронтальной зоной, перешел в малоподвижное состояние. Под воздействием его циркуляции находилась вся территория северо-восточной Азии от бассейна Лены до Аляски. Аномалии геопотенциальных высот поверхности  $H_{500}$  в области гребня достигали +10...+15 дам (тропосфера была относительно теплой). От левобережья Лены до Енисея полярная зона материка находилась в поле низкого атмосферного давления, однако эти районы тоже были относительно теплыми (аномалии геопотенциальных высот положительные). Высотная депрессия, в середине зимы обычно устанавливающаяся над северо-западной частью Охотского моря, была относительно неглубокой, но значительно смещена к югу от климатического положения. Миграция депрессии к югу способствовала обострению высотной фронтальной зоны, обрамляющей её, и формированию отрицательных аномалий геопотенциальных высот в зоне зимней дальневосточной ложбины (южнее и западнее депрессии аномалии геопотенциальных высот поверхности  $H_{500}$  отрицательные до -5 дам). Над центральной и северо-восточной частями Тихого океана тропосфера оставалась очень теплой, над этими районами наблюдались положительные аномалии геопотенциальных высот поверхности  $H_{500}$  до +5...+10 дам (рис. 1-3).

У земной поверхности Восточная Азия оставалась под воздействием антициклонального поля. Основной центр азиатского антициклона в соответствии с нормой располагался над Монголией, его мощность незначительно превышала климатическую. Значительно мощнее обычного были северные отроги антициклона, что проявилось в значительных положительных аномалиях атмосферного давления над большей частью Восточной Сибири; аномалии достигали +5...+12 гПа. Над Восточной Арктикой тоже установилось повышенное атмосферное давление. Тихоокеанские акватории, включая дальневосточные моря, находились под влиянием алеутской депрессии. Её глубина незначительно отличалась от нормы, но её положение было значительно западнее климатического. Основной центр депрессии смещен к северной части Курильской гряды (рис. 1-4). На аномальное положение депрессии указывают значительные отрицательные аномалии атмосферного давления к западу от её центра (до -5...-7 гПа) и положительные – восточнее от неё (до +5 гПа). Тропический тихоокеанский пояс высокого давления был деградирован, что соответствует сезону. Аномалии атмосферного давления над тропической частью океана преимущественно слабые (в пределах  $\pm 2$  гПа).

### Японское море

В средней тропосфере над севером Японского моря установилось депрессионное поле, над остальной акваторией сохранялся западно-восточный перенос воздуха, деформированный в виде ложбины. В среднем за месяц воздушная масса над морем была холодной (аномалии геопотенциальных высот поверхности  $H_{500}$  преимущественно отрицательные до -5 дам). Только над северной частью Татарского пролива воздух был незначительно теплее нормы (аномалии геопотенциальных высот положительные до +1...+2 дам).



У земной поверхности море оставалось в зоне устойчивых муссонных потоков – в пограничном положении между депрессией, установившейся над восточной частью Охотского моря, и азиатским антициклоном. Фон атмосферного давления над большей частью моря ниже нормы на 1–5 гПа.

Температура воздуха на уровне  $H_{850}$  (нижняя тропосфера) над морем распределена от  $-5\text{ }^{\circ}\text{C}$  на юге до  $-18\text{ }^{\circ}\text{C}$  у северо-западного побережья. Это состояние для большей части акватории близко к норме, для северной части моря – превышало норму на 1–3  $^{\circ}\text{C}$ . В течение месяца температура воздуха над морем понизилась на 3–5  $^{\circ}\text{C}$ .

### **Охотское море**

В средней тропосфере южная половина Охотского моря находилась под воздействием депрессии, север моря – в пограничном положении между депрессией и обширным антициклоном, расположенным над бассейном Колымы и Чукоткой. Над большей, северной частью моря воздушная масса были значительно теплее нормы (аномалии геопотенциальных высот поверхности  $H_{500}$  положительные до +7...+11 дам), над югом акватории воздух был относительно холодным (здесь аномалии геопотенциальных высот поверхности  $H_{500}$  отрицательные до -3...-4 дам).

У земной поверхности над Охотским морем устойчиво располагалась депрессия. Северные и северо-западные акватории моря находились в пограничном положении между депрессией и полями высокого давления над бассейнами Лены и Колымы. Атмосферное давление над морем, кроме крайних северо-восточных районов, ниже нормы на 1–7 гПа.

Температура воздуха в нижнем слое тропосферы на уровне  $H_{850}$  над морем распределена от  $-11\text{ }^{\circ}\text{C}$  на востоке до  $-18\text{ }^{\circ}\text{C}$  на северо-западе. Это состояние для большей части акватории превышает норму на 2–5  $^{\circ}\text{C}$ . В течение месяца температура воздуха над северо-западной частью моря изменилась незначительно, над остальной акваторией понизилась на 1–3  $^{\circ}\text{C}$ .

### **Берингово море**

В средней тропосфере юго-западная часть акватории Берингова моря находилось под воздействием низкого атмосферного давления, остальная часть – в поле повышенного давления. Воздушная масса над всей акваторией оставалась теплой – аномалии геопотенциальных высот поверхности  $H_{500}$  положительные от +5...+10 дам.

У поверхности земли над югом моря наблюдалось пониженное атмосферное давление, остальная акватория находилась в зоне напряженных барических градиентов. Атмосферное давление в среднем за месяц выше нормы на 1–6 гПа.

Температура воздуха в нижнем слое тропосферы на уровне  $H_{850}$  над морем распределена от  $-6\text{ }^{\circ}\text{C}$  на юго-востоке до  $-14\text{ }^{\circ}\text{C}$  на севере. Это состояние для большей части моря превышает норму на 1–3  $^{\circ}\text{C}$ . За месяц температура воздуха над морем понизилась на 3–6  $^{\circ}\text{C}$ .

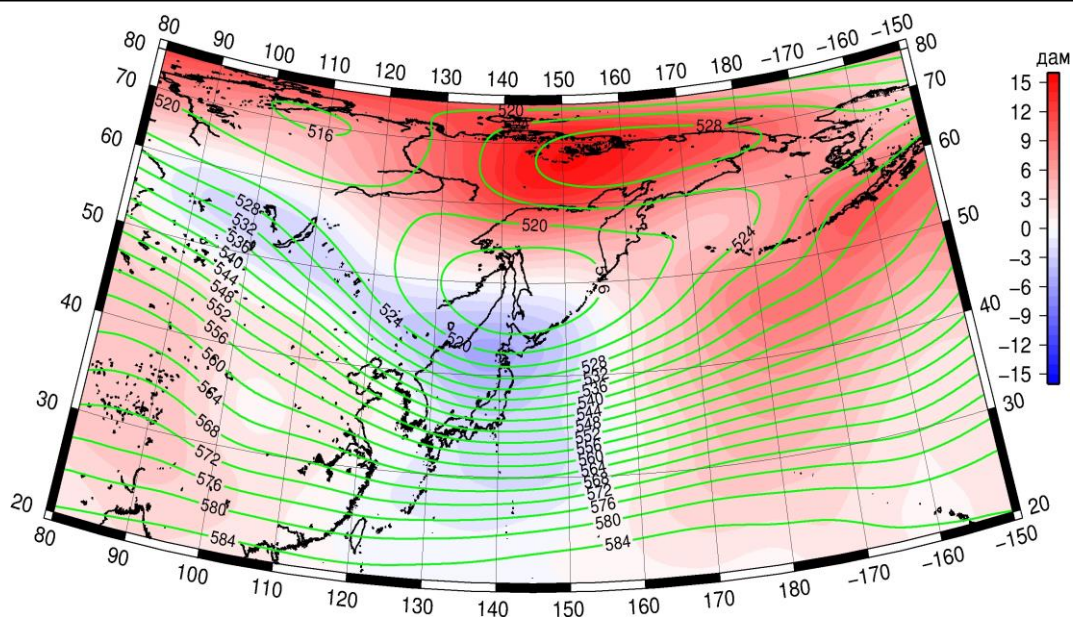


Рис. 1-3 Среднее поле  $H_{500}$  (изогипсы) и его аномалии (изополосы) в январе 2026 г. (дам)

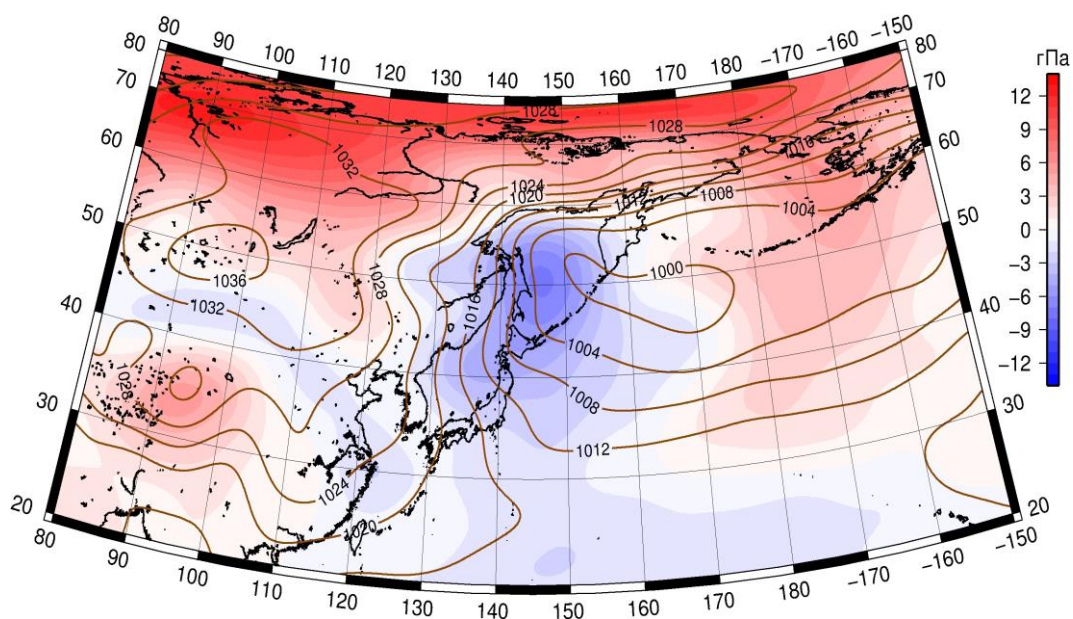


Рис. 1-4 Среднее поле атмосферного давления у поверхности земли (изобары) и его аномалии (изополосы) в январе 2026 г. (гПа)

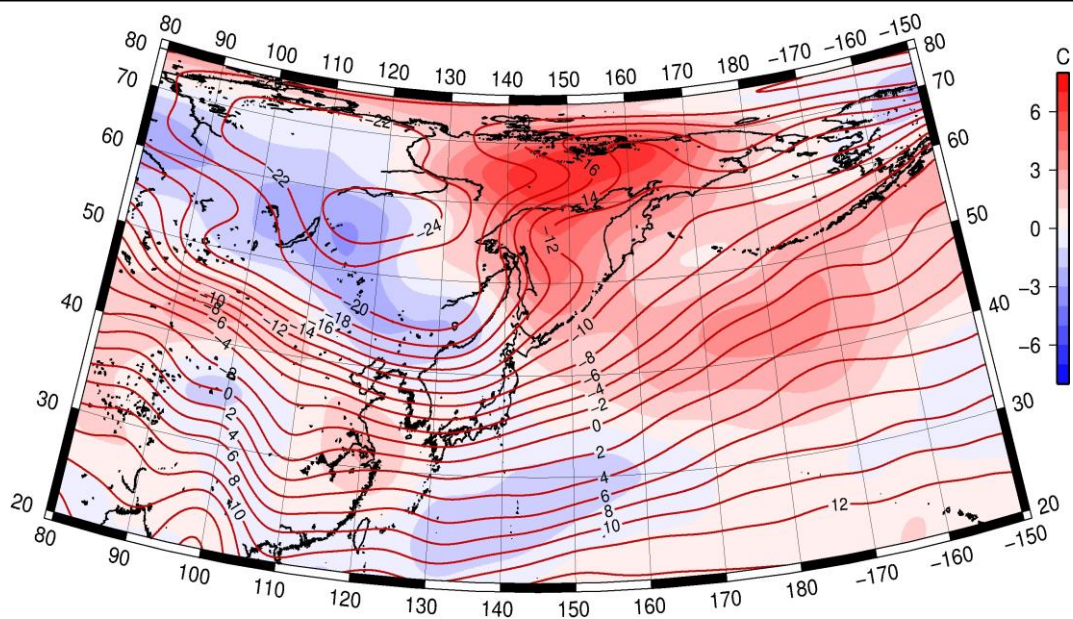


Рис. 1-5 Среднее поле  $T_{850}$  (изотермы) и его аномалии (изополосы) в январе 2026 г. (°C)

### 1.3 Региональные индексы циркуляции атмосферы

#### 1.3.1 Зональный и меридиональный перенос воздуха над П е. с. р.

Характеристика основных воздушных течений в средней и нижней тропосфере за январь 2026 г. выполнена на основе индексов атмосферной циркуляции, приведенных ниже в таблице и на рис. 1-6-1-8. В данном разделе для характеристики индексов принята следующая терминология: норма –  $\pm 0,3\text{STD}$  относительно нормы; незначительное отклонение от нормы –  $\pm(0,4-0,7)\text{STD}$ ; значительное отклонение от нормы –  $\geq 2,0\text{STD}$ . Аномалии рассчитаны относительно средних многолетних значений (нормы) за период 1981–2010 гг.

##### Японское море

В январе во всем слое тропосферы над Японским морем сохранялось доминирование западно-восточного переноса воздуха (значения зональных индексов положительные), его интенсивность в средней тропосфере была близка к норме, у поверхности земли незначительно превышала норму ( $K_z$  соответственно равен  $-0,2\text{STD}$  и  $0,4\text{STD}$ ).

Интенсивность межширотного обмена во всем слое тропосферы над Японским морем превышала климатическую, в нижней тропосфере значительно превышала ( $|K_m|$  равен  $1,3\text{STD}$  и  $2,2\text{STD}$  соответственно в средней тропосфере и у поверхности земли), что определялось сильными вторжениями воздуха с севера ( $K_m$  равен  $-1,3\text{STD}$  и  $-2,2\text{STD}$  соответственно в средней тропосфере и у поверхности земли). Во всем слое тропосферы сохранилось преобладание движений воздуха с севера (значения меридиональных индексов отрицательные).

##### Охотское море

Над Охотским морем во всем слое тропосферы установился перенос воздуха с востока на запад (значения зональных индексов отрицательные); его интенсивность превышала климатическую ( $K_z$  равен  $-1,6\text{STD}$  и  $-1,1\text{STD}$  соответственно в средней тропосфере и у поверхности земли).

Интенсивность межширотного обмена в средней тропосфере над Охотским морем была незначительно ниже климатической, многолетний баланс между меридиональными составляющими – близок к норме ( $|K_m|$  равен  $-0,4\text{STD}$ ,  $K_m = 0,2\text{STD}$ ). У поверхности земли интенсивность межширотного обмена была незначительно слабее обычного, что определялось ослаблением северной компоненты обмена ( $|K_m|$  равен  $-0,5\text{STD}$ ,  $K_m = 0,7\text{STD}$ ). В течение месяца в средней тропосфере преобладал перенос воздуха с юга (значение меридионального индекса положительное), в нижнем слое – с севера (значение меридионального индекса отрицательное).

##### Берингово море

Над Беринговым морем в среднем слое тропосферы перенос воздуха с запада на восток оставался преобладающим (значение зонального индекса положительное); его интенсивность близка к норме ( $K_z$  равен  $-0,1\text{STD}$ ). У поверхности земли усилилось преобладание движений воздуха с востока (значение зонального индекса отрицательное), что близко к норме ( $K_z$  равен  $-0,3\text{STD}$ ).

Интенсивность меридиональных движений воздуха и многолетний баланс между меридиональными составляющими в средней тропосфере над Беринговым морем были близки к норме ( $|K_m|$  равен  $0,2\text{STD}$ ,  $K_m = 0,3\text{STD}$ ). У поверхности земли меридиональные движения воздуха были слабыми, многолетний баланс между меридиональными составляющими незначительно нарушен в пользу южной компоненты обмена ( $|K_m|$  равен  $-1,2\text{STD}$ ,  $K_m = 0,4\text{STD}$ ).

**ЕЖЕМЕСЯЧНЫЙ ГИДРОМЕТЕОРОЛОГИЧЕСКИЙ БЮЛЛЕТЕНЬ ДВНИГМИ**  
 Авторы: Мезенцева Л. И., Каптюг В. А.

В среднем за месяц в средней тропосфере сохранилось преобладание движений воздуха с юга (значение меридионального индекса положительное), в нижнем слое – с севера, но очень незначительное (значение меридионального индекса отрицательное, слабое).

**Индексы циркуляции атмосферы и их аномалии по II е. с. р.**

Индекс*	Уровень (высота)	Ноябрь			Декабрь			Январь		
		значение	ASTD**	STD**	значение	ASTD**	STD**	значение	ASTD**	STD**
Kz Ям	500 гПа	25082	-0.3	3989	30905	1.3	3775	23497	-0.2	3921
Kz Ом		13288	-0.3	3825	9805	0.2	4744	-2250	-1.6	4807
Kz Бм		9476	-0.3	4909	5888	0.0	5078	2456	-0.1	4567
Kz 35_50		24860	0.1	2957	19386	-1.6	2945	21388	-0.2	3249
Kz 50_70		8058	0.1	3131	7405	0.7	2894	713	-0.9	3146
Kz 35_70		15286	0.3	1292	12761	-0.5	1757	9994	-0.9	2024
Km Ям		-2231	-0.7	1829	-1070	1.1	1609	-5606	-1.3	1376
Km Ом		1012	-0.2	1822	8848	5.3	1450	1646	0.2	1829
Km Бм		1094	-0.3	1598	1982	-0.2	1599	2905	0.3	1249
Km 35_50		-318	0.3	653	-259	0.8	792	-803	0.2	957
Km 50_70		-214	0.2	579	1328	2.3	698	232	0.5	737
Km 35_70		-198	0.4	522	651	2.0	581	-212	0.4	724
Km  Ям		3102	-0.1	1383	4111	-0.3	1559	7587	1.3	1680
Km  Ом		2332	-0.7	1920	14646	6.5	1761	2969	-0.4	1969
Km  Бм		1998	-1.0	2135	13197	3.6	2329	5180	0.2	1787
Km  35_50		3952	-0.5	1302	7351	2.1	960	7077	1.8	843
Km  50_70	3865	-0.5	1313	9039	3.5	1200	4038	-0.6	1304	
Km  35_70	3897	-0.5	1170	8108	3.3	949	5263	0.3	887	
Kz Ям	1000 гПа	3094	0.7	1241	2725	0.9	1185	1450	0.4	1500
Kz Ом		149	-0.8	1455	365	0.7	2105	-4929	-1.1	2234
Kz Бм		-722	-0.8	2861	-2973	-0.1	3331	-5760	-0.3	2691
Kz 35_50		5392	1.5	1133	1233	-2.1	1286	2701	0.1	1684
Kz 50_70		-554	-0.6	1548	354	0.6	1624	-3839	-1.3	1722
Kz 35_70		1875	0.4	664	701	-0.5	997	-1056	-1.1	1171
Km Ям		-2926	0.5	769	-4614	0.2	869	-7549	-2.2	970
Km Ом		-3087	-0.5	1261	168	3.4	1155	-3359	0.7	1147
Km Бм		-420	-0.1	1087	-22	0.4	1094	-64	0.4	944
Km 35_50		-1601	-0.8	433	-1301	1.2	558	-2165	0.0	687
Km 50_70		-1091	-0.1	422	-226	2.0	479	-1403	-0.3	518
Km 35_70		-1270	-0.5	354	-660	2.0	408	-1690	-0.2	530
Km  Ям		3997	-0.5	1050	6300	-0.2	1183	10307	2.2	1321
Km  Ом		5177	0.3	1391	6901	0.3	1756	5924	-0.5	1798
Km  Бм		2019	-0.7	1371	6480	2.4	1355	1461	-1.2	1378
Km  35_50		2998	0.3	480	3307	-0.9	532	3811	-0.6	691
Km  50_70	2802	-0.9	534	4517	1.3	681	3410	-0.3	648	
Km  35_70	2847	-0.5	431	3934	0.6	543	3539	-0.5	576	

\* Описание индексов приведено в разделе «Терминология».

\*\* Климатические характеристики (STD, ASTD) рассчитаны относительно норм 1981–2010 гг.



**Умеренные широты между 35° и 50° с. ш. над П е. с. р.**

В зоне умеренных широт между 35° и 50° с. ш. над П е. с. р. западно-восточный перенос оставался доминирующим (зональные индексы положительные); его интенсивность близка к климатической ( $K_z$  равен  $-0,2STD$  и  $0,1STD$  соответственно в средней тропосфере и у поверхности земли).

Интенсивность меридиональных движений воздуха в средней тропосфере над указанной широтной зоной превышала норму за счет обеих составляющих ( $|K_m|$  равен  $1,8STD$ ,  $K_m = 0,2STD$ ). В нижнем слое тропосферы интенсивность межширотного обмена была незначительно слабее климатической, многолетний баланс между меридиональными составляющими близок к норме ( $|K_m|$  равен  $-0,6STD$ ,  $K_m = 0,0STD$ ). В среднем за месяц во всем слое тропосферы наблюдалось преобладание движений воздуха с севера (значения меридиональных индексов отрицательные).

**Широтная зона 50–70° с. ш. над П е. с. р.**

В средней тропосфере над широтной зоной 50–70° с. ш. П е. с. р. в течение месяца сохранялось преобладание движений воздуха с запада на восток (значение зонального индекса положительное), но со слабой интенсивностью ( $K_z$  равен  $-0,9STD$ ). В нижнем слое тропосферы сформировалось доминирование движений воздуха с востока (значение зонального индекса отрицательное), с превышением нормы ( $K_z = -1,3STD$ ).

Интенсивность межширотного обмена в средней тропосфере над указанной широтной зоной была незначительно слабее климатической, что определялось ослаблением северной компоненты обмена ( $|K_m|$  равен  $-0,6STD$ ,  $K_m = 0,5STD$ ). В нижнем слое тропосферы межширотный обмен и многолетний баланс между меридиональными составляющими были близки к норме ( $|K_m|$  равен  $-0,3STD$ ,  $K_m = -0,3STD$ ). В среднем за месяц в средней тропосфере сохранилось преобладание движений воздуха с юга (значение меридионального индекса положительное), у поверхности земли – с севера (значение меридионального индекса отрицательное).

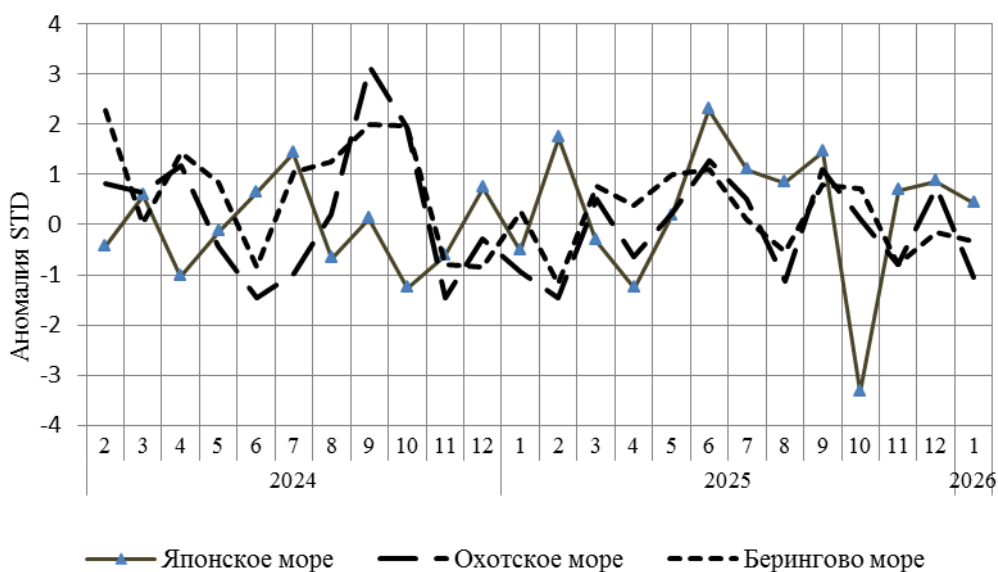


Рис. 1-6 Годовой ход стандартизованных аномалий индекса интегрального зонального переноса воздуха с учетом знака ( $K_z$ ) в нижней тропосфере над дальневосточными морями

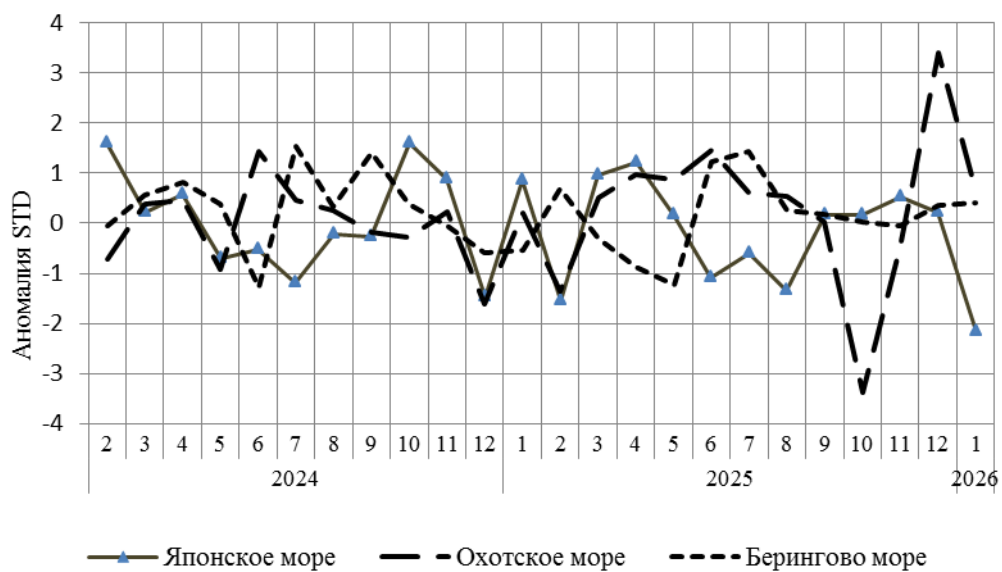


Рис. 1-7 Годовой ход стандартизованных аномалий индекса интегрального меридионального переноса воздуха с учетом знака (Kt) в нижней тропосфере над дальневосточными морями

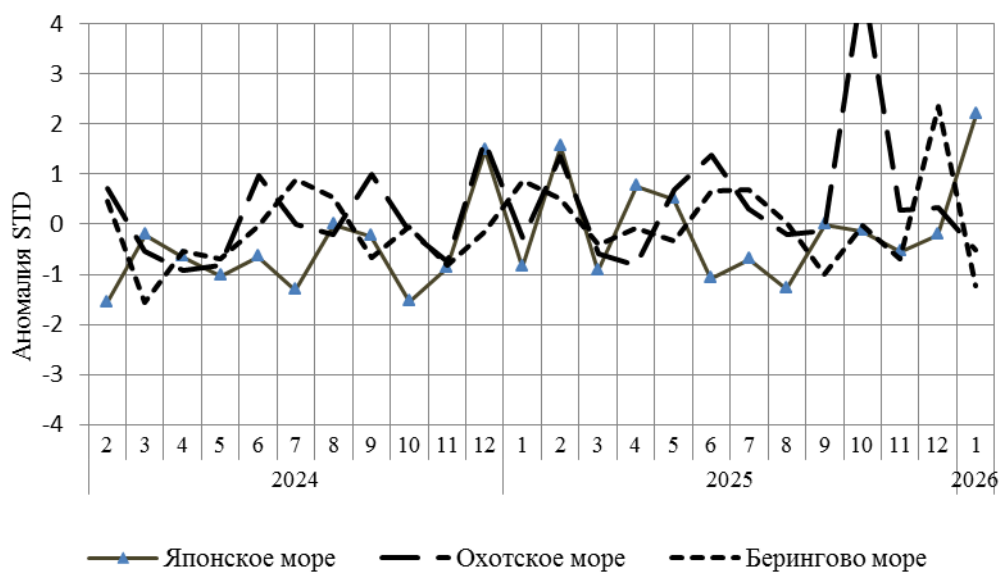


Рис. 1-8 Годовой ход стандартизованных аномалий индекса интегрального меридионального переноса воздуха без учета знака (|Kt|) в нижней тропосфере над дальневосточными морями